# ФЕДЕРАЛЬНОЕ ГОСУДАРСВТЕННОЕ АВТОНОМНОЕ ОБРАЗОВАТЕЛЬНОЕ УЧРЕЖДЕНИЕ ВЫСШЕГО ОБРАЗОВАНИЯ «НАЦИОНАЛЬНЫЙ ИССЛЕДОВАТЕЛЬСКИЙ ТЕХНОЛОГИЧЕСКИЙ УНИВЕРСИТЕТ «МИСИС»

#### АХМЕТОВ АМАНКЕЛЬДЫ

### РАЗРАБОТКА ТЕХНОЛОГИИ ПОЛУЧЕНИЯ ПОРОШКОВЫХ КОМПОЗИЦИОННЫХ БЫСТРОРЕЖУЩИХ СТАЛЕЙ

2.6.5 – Порошковая металлургия и композиционные материалы

#### АВТОРЕФЕРАТ

диссертации на соискание ученой степени кандидата технических наук

Научный руководитель Доктор технических наук, профессор Еремеева Жанна Владимировна

#### ОБЩАЯ ХАРАКТЕРИСТИКА РАБОТЫ

#### Актуальность работы

Быстрорежущие стали применяются в промышленности как один из основных материалов для получения режущего инструмента. Возникновение карбидной ликвации в быстрорежущей стали (БРС), получаемой традиционными методами литья, требует в дальнейшем проводить долгие операции термической обработки (ТО) такой стали с дополнительным использованием обработки металлов давлением для карбидной сетки. Именно карбидная неоднородность уменьшения концентратором напряжений, в результате чего режущий инструмент из такого материала подвержен выкрашиванию в ходе эксплуатации. Была разработана порошковая БРС, в которой не возникает карбидная ликвация за счет того, что частицы распыленного порошка остывают за короткий промежуток времени, при котором грубая карбидная сетка образоваться не может. В результате, инструмент из такого материала демонстрирует лучшие физико-механические свойства.

Однако порошковая БРС также имеет свои недостатки, которые связаны с ее уплотнением и консолидацией. Из-за высокой твердости и сферической формы частиц, данные порошки БРС не формуются технологически простыми методами формования (прессованием), или же формуются без достижения удовлетворительного уровня плотности и физико-механических свойств, вследствие чего для этой цели используется метод горячего изостатического прессования (ГИП). Этот метод технологически сложен, требует применения дорогостоящего комплекса оборудования с низкой производительностью, что неизбежно увеличивает себестоимость инструмента из порошковой БРС.

Путем решения данной проблемы является получение порошковой БРС иными методами, обеспечивающими высокую уплотняемость при технологически более простых методах консолидации – прессования и спекания, а также горячего прессования (ГП).

Так, практически не исследована возможность применения метода диффузионного легирования, который обеспечивает получение порошков с частицами губчатой формы. Порошки с губчатой формой частиц отличаются высокой формуемостью. Также мало изучена возможность применения механического легирования для получения порошковой БРС, что в перспективе может обеспечить

лучшую альтернативу распыленному порошку.

<u>Актуальность работы</u> подтверждается выполнением её в соответствии с тематическими планами университета по следующим проектам:

- 22-79-10144 № Проект Российского научного фонда «Разработка высокоэнтропийных связок для нового поколения алмазного режущего инструмента с эксплуатационными характеристиками за повышенными счет комплексного модифицирования и реализации механизмов дисперсного и дисперсионного упрочнения» (тема № 8340306), 2022-2024;
- Проект Российского научного фонда № 23-49-00141: «Получение защитных гетерофазных покрытий методами импульсной плазменной и электроискровой обработки» (тема 8340307), 2023-2025.

**Целью работы** являлась разработка технологии получения композиционной быстрорежущей стали из порошковых смесей, которые отличаются высокой уплотняемостью при холодном и горячем прессовании.

Для достижения поставленной цели, в работе решались следующие задачи:

- определение оптимального режима получения порошковой диффузионнолегированной добавки для порошковой смеси БРС P6M5K5, исследование процессов холодного прессования, спекания и горячего прессования полученной смеси, термическая обработка полученных заготовок и исследование их физико-механических свойств;
- определение оптимального режима обработки исходных порошков в планетарной центробежной мельнице для получения механически легированной смеси БРС P6M5K5 и исследование процессов её холодного прессования, спекания и горячего прессования, термическая обработка полученных заготовок и исследование их физико-механических свойств;
- выбор и обоснование применения упрочняющих добавок для разрабатываемых порошковых смесей композиционных БРС, исследование процессов консолидации методами прессования, спекания и горячего прессования полученных порошковых смесей с различными добавками, термическая обработка полученных заготовок и исследование их физико-механических свойств;
- исследование применения полученных порошковых смесей БРС в электроискровой обработке инструментальной стали.

#### Научная новизна

- 1. Обнаружен эффект повышенной уплотняемости при холодном прессовании порошковой смеси быстрорежущей стали P6M5K5 с диффузионно-легированной добавкой, сопоставимой с уплотняемостью порошка ПЖРВ 2.200.26, что обусловлено губчатой морфологией частиц добавки. В случае распыленного порошка быстрорежущей стали 10P6M5 эффект повышенной формуемости достигается за счет введения в состав смеси твердых частиц карбида ванадия, которые интенсифицируют пластическую деформацию в области контакта карбидов с металлической матрицей.
- 2. Установлено, что при спекании холоднопрессованных заготовок из механически легированной смеси быстрорежущей стали P6M5K5 уплотнение при температуре до 1125 °C протекает по механизму твердофазного спекания, а свыше 1125 °C по механизму жидкофазного спекания за счёт контактного плавления эвтектики, %: 29,4 Fe; 38,6 W; 19,7 Mo; 1,8 Cr; 1,0 V; 9,5 C.
- 3. На основе быстрорежущей стали P6M5K5 с добавкой боридно-силицидной керамики  $MoSi_2$ —MoB— $HfB_2$  разработаны электродные материалы для электроискровой обработки, обладающие скоростью эрозии не менее 5,5 мг/мин при энергии единичных импульсных разрядов 0,1-0,4 Дж, силе тока 170-200 А, частоте 400-3000 Гц, обеспечившие прирост твердости инструментальных сталей до 15,8 ГПа и износостойкости при 500 °C до  $2,82 \times 10^{-5}$  мм $^3$ /H/м.

#### Практическая значимость

- 1. Разработана диффузионно-легированная добавка для получения порошковой смеси БРС Р6М5К5, получена опытная партия порошковой смеси в условиях ПАО «Северсталь». Исследованы особенности прессования и спекания, а также ГП, получено ноу-хау «Способ получения диффузионно-легированной смеси на основе железа, содержащей вольфрам, молибден, кобальт и карбид тантала» (зарегистрировано в депозитарии НИТУ МИСИС);
- 2. Определен оптимальный режим получения механически легированной смеси БРС P6M5K5 обработкой в ПЦМ и исследованы различные режимы прессования и спекания, а также ГП механолегированной смеси БРС P6M5K5. Разработан способ получения порошка быстрорежущей стали механическим легированием, Патент РФ № 2799363 от 10.06.2022, Бюллетень изобретения № 19 от 05.07.2023;
- 3. Получены режущие пластины из ГП-заготовок БРС P6M5K5, 10P6M5, P6M5K5 с добавлением 3 % VC, которые при испытаниях на лабораторно-исследовательской

базе ПАО «Туполев» продемонстрировали стойкость при резании стали 30ХГСА в 1,13-1,60 раз больше, чем режущая пластина из горячекатаного прутка литой стали Р6М5. Также проведены испытания режущих пластин из ГП-заготовок в условиях производственного участка ООО НПФ «УМГ», согласно которым, резцы пригодны для механообработки графитовых заготовок;

- 4. Разработана технологическая инструкция на процесс получения электродов для электроискровой обработки на основе порошковой смеси быстрорежущей стали P6M5K5 с добавкой керамики на основе силицида молибдена, боридов молибдена и гафния, ТИ № 58-11301236-2023;
- 5. Определены оптимальные режимы нанесения покрытий на сталь 5ХНМ методом электроискровой обработки из ГП электродов механолегированной смеси БРС P6M5K5 и БРС P6M5K5 с добавлением 40 % гетерофазной керамики MoSi<sub>2</sub> MoB HfB<sub>2</sub>. Показано, что введение керамики уменьшило приведенный износ в 13,5 раз по сравнению с покрытиями из БРС P6M5K5 без добавления керамики при высокотемпературных трибологических испытаниях.

#### Основные положения, выносимые на защиту

- 1. Способы получения порошковых смесей БРС методами смешения с диффузионно-легированной добавкой, обработки в ПЦМ с механическим легированием и с введением различных добавок и их технологические свойства;
- 2. Особенности консолидации методами холодного прессования и спекания и горячего прессования смесей БРС, их термическая обработка и микроструктурное исследование:
- 3. Физико-механические свойства консолидированных БРС и эксплуатационные свойства резцов, полученных из данных БРС;
- 4. Применение полученной порошковой смеси БРС P6M5K5 для ЭИО инструментальной стали.

#### Апробация работы

Основные результаты и материалы диссертации докладывались и обсуждались на следующих научных конференциях: Юбилейная LXX открытая международная студенческая научная конференция «СНК-2020», посвященная 155-летию Московского Политеха (Россия, Москва, 20-21 апреля); Шестой междисциплинарный научный форум с международным участием «Новые материалы и перспективные технологии»

(Россия, Москва, 23-27 ноября, 2020); 12-й международный симпозиум «Порошковая инженерия металлургия: поверхности, новые порошковые композиционные материалы, сварка» (Беларусь, Минск, 7-9 апреля 2021); Международный молодежный научный форум «ЛОМОНОСОВ-2021» (Ломоносов-2021, Россия, Москва, 12-23 апреля 2021); Международная научно-практическая online конференция «Интеграция науки, образования и производства - основа реализации Плана нации» (Сагиновские чтения №13, Казахстан, Караганда, 17-18 июня 2021); 7-я Всероссийская научнотехническая конференция с международным участием «Перспективы развития технологий обработки и оборудования в машиностроении» (Россия, Курск, 10-11 февраля 2022); XI конференция молодых специалистов по перспективам развития металлургических технологий (Москва, Россия, 28 февраля 2022); Международная научно-техническая конференция «Машиностроительные технологические системы» (METS-2022, Россия, Азов, 26–29 мая 2022); 3-я Международная научно-практическая конференция «Современные проблемы и направления развития металловедения и термической обработки металлов и сплавов» (SPM-2022, Россия, Курск, 15-16 сентября 2022); VI Всероссийская научно-практическая конференция с международным участием «Инновационные технологии в материаловедении и машиностроении» (ИТММ-2022, Россия, Пермь, 10-14 октября 2022).

#### Публикации

Материалы диссертации представлены в 20 публикациях, в том числе 8 в журналах из перечня ВАК и входящих в перечень Scopus/Web of Science, 10 тезисов и докладов в сборниках трудов конференций, 1 «Ноу-хау» зарегистрировано в депозитарии НИТУ МИСИС и 1 патент.

#### Достоверность полученных результатов

Достоверность подтверждается использованием современного научноисследовательского оборудования и применения методов исследований согласно межгосударственным стандартам, значительным количеством экспериментальных данных и сопоставлением полученных результатов с данными других авторов.

#### Личный вклад автора

Диссертация представляет собой законченную научную работу, в которой приведены результаты исследований, которые были получены автором лично и в соавторстве. Работы по получению и обработке экспериментальных данных, их

анализе и обобщении результатов в основном велась автором работы. Совместно с научным руководителем и соавторами публикаций велось дальнейшее обсуждение и интерпретация полученных результатов. Основные положения и выводы по диссертационной работе были сформулированы автором.

#### Структура и объем диссертации

Диссертационная работа состоит из введения, 6 разделов, общих выводов, приложений и списка использованной литературы

#### ОСНОВНОЕ СОДЕРЖАНИЕ РАБОТЫ

**Во введении** обоснована актуальность проблемы, приведена цель диссертационной работы и её основные задачи. Сформулированы научная новизна, практическая значимость, приведены основные положения, выносимые на защиту.

**Первый раздел** посвящен аналитическому обзору литературы, где приведено описание БРС, а также методы их получения, их преимущества и недостатки. Показано, что получение БРС методами литья приводит к образованию карбидной ликвации, и применение методов порошковой металлургии позволяет избежать возникновения данного дефекта. Отмечена сложность и дороговизна процесса горячего изостатического прессования, что значительно сдерживает более широкое распространение инструмента из порошковой БРС.

Проведен анализ ТО, как метода улучшения физико-механических и эксплуатационных свойств инструмента из порошковой БРС, согласно которому, в большинстве случаев, различные вариации ТО не приносят значительного эффекта в отличие от традиционных методов ТО. Приведено описание особенностей ТО БРС в зависимости от метода получения, марки стали, вида режущего инструмента и области его применения.

В качестве перспективных альтернатив, обеспечивающих исключение из технологической цепочки ГИП, приведены методы получения порошков при помощи диффузионного легирования для получения порошка губчатой морфологии с высокой формуемостью, и обработка в ПЦМ, что широко применяется для получения порошковых БРС, упрочненных различными добавками, в основном карбидами и нитридами, реже боридами и более сложными соединениями.

Показано, что порошковую БРС, в частности подверженную обработке в ПЦМ, можно консолидировать сверхсолидусным спеканием, что может обеспечить

достаточно высокие физико-механические свойства, однако необходимость обеспечения точной температуры и времени выдержки усложняют данный процесс.

На основании аналитического обзора литературы сделан вывод, что добиться улучшения уплотняемости, физико-механических и эксплуатационных свойств БРС можно применением перечисленных альтернативных методов получения порошков.

**Второй раздел** посвящен описанию материалов, оборудования, приборов, методов получения, обработки и исследования БРС, использованных в диссертационной работе.

Порошковые смеси были получены основными тремя методами: смешивание порошков железа, хрома, феррованадия и сажи с диффузионно-легированной смесью (добавкой), содержащей железо, вольфрам, молибден и кобальт (была получена смесь БРС Р6М5К5); обработка в ПЦМ Активатор-4М порошков железа, вольфрама, молибдена, хрома, феррованадия и сажи и, в зависимости от марки БРС, кобальта (были получены смеси БРС Р6М5К5, 10Р6М5, Р12К3К5Ф2, в том числе с различными упрочняющими добавками VC, В<sub>4</sub>С, ТіС и MoSi<sub>2</sub> – МоВ – HfВ<sub>2</sub>); обработка в ПЦМ распыленного порошка БРС 10Р6М5, в том числе с одновременным смешиванием с упрочняющими добавками VC и В<sub>4</sub>С.

Проводили исследование текучести (согласно ГОСТ 20899-98), насыпной плотности (по ГОСТ 19440-94), гранулометрического состава (на лазерном анализаторе ANALYSETTE 22 MicroTec plus, производства Fritsch GmbH, Германия). Морфология и микроструктура перечисленных порошков и порошковых смесей, как и консолидированных образцов, исследовались методами растровой электронной микроскопии (РЭМ) на микроскопе S-3400N (производство Hitachi High-Technologies Япония), рентгеновским Corporation, оснащенного энерго-дисперсионным спектрометром NORAN System 7 X-ray Microanalysis System (производство Thermo Scientific, США). Исследовали особенности консолидации при холодном прессовании при давлениях 200, 400, 600, 700, 800 и 900 МПа, при спекании холоднопрессованных заготовок при температурах 1000 - 1300 °C и при  $\Gamma\Pi$  при температурах 900 - 1025 °C. Проводили ТО на различных режимах. На консолидированных образцах проводили микроструктурный анализ, анализ методом энергодисперсионной спектроскопии (ЭДС) и рентгеноструктурного фазового анализа (РФА).

Также были получены электроды для нанесения покрытий методом ЭИО из механолегированной ГП смеси БРС P6M5K5, а также смеси механолегированной БРС P6M5K5 с 40 % гетерофазной керамики MoSi<sub>2</sub> – MoB – HfB<sub>2</sub>. В качестве подложки

была выбрана инструментальная сталь 5ХНМ, из которой изготавливаются штампы, работающие при высоких температурах.

Третий раздел посвящен исследованию текучести, насыпной плотности, гранулометрического состава, микроструктуры и фазового состава полученных порошков и порошковых смесей и особенностей их получения. Так, методами термогравиметрического анализа  $(T\Gamma A)$ И дифференциальной сканирующей калориметрии (ДСК) определено, что для получения диффузионно-легированной смеси на основе железа, вольфрама, молибдена и кобальта из смеси порошков железа и оксидов вольфрама WO<sub>3</sub> и молибдена MoO<sub>3</sub> и оксалата кобальта CoC<sub>2</sub>O<sub>4</sub> достаточной является восстановление в потоке водорода при 800 °C. Повышение температуры восстановления желательно для большей гомогенизации. В результате образуется хрупкий губчатый спек, измельчение которого приводит к получению порошка с губчатыми частицами. Согласно РФА присутствуют фазы: α-железо, карбид М<sub>6</sub>С, свободный углерод и различные твердые растворы, которые образуют между собой введенные элементы. Присутствие углерода связано с углеродной обмазкой лодочки, в которую загружалась исходная смесь до восстановления, что было сделано для предотвращения припекания продукта восстановления к стенкам лодочки.

Полученная в шаровой вращающейся мельнице (ШВМ) порошковая смесь БРС P6M5K5 с диффузионно-легированной добавкой (рисунок 1) была монофракционной, с диапазоном размера частиц 1-100 мкм, со средним размером частиц 21 мкм и основной фракцией 3-40 мкм. Порошковая смесь не течет, насыпная плотность составила 2,83 г/см<sup>3</sup>, что связано с губчатой морфологией частиц диффузионно-легированного порошка и высокой долей мелкодисперсной фракции.

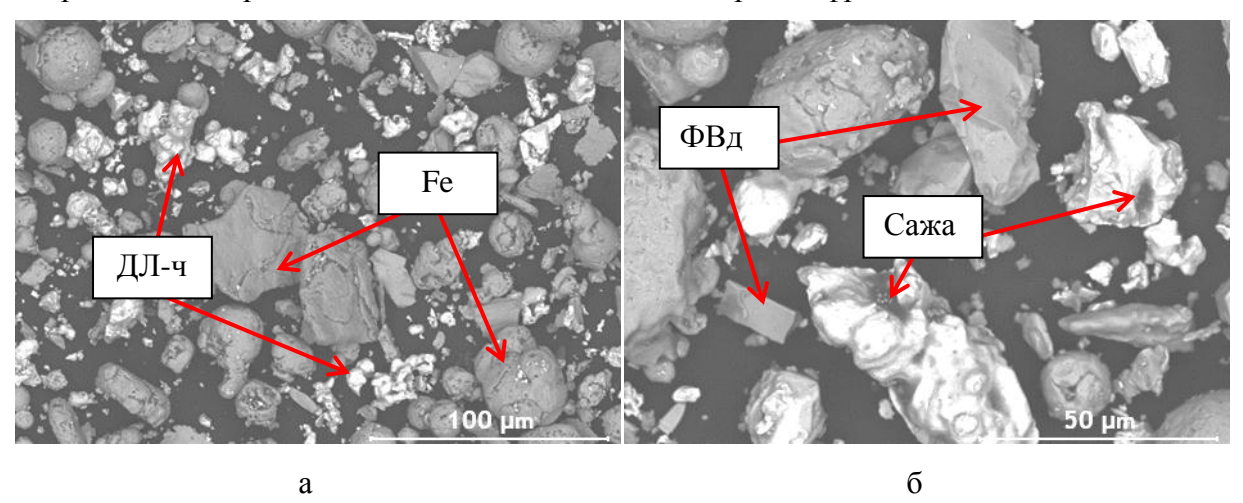


Рисунок 1 – РЭМ-изображения порошковых смесей БРС P6M5K5 с диффузионнолегированной добавкой после смешивания в ШВМ

На рисунке 1 видно, что частицы порошковой смеси разнородны по своей морфологии: частицы железного порошка по форме, в основном, сферические или близкие к сферической (равноосные), диффузионно-легированная добавка представлена частицами губчатой формы (ДЛ-ч), частицы феррованадия (ФВд) имеют осколочную форму, поскольку порошок был получен измельчением кусков ферросплава, частицы сажи намазаны на остальные частицы.

По результатам работы в условиях ПАО «Северсталь» была получена опытная партия порошковой смеси БРС Р6М5К5, содержащей диффузионно-легированную добавку.

Обработка в ПЦМ порошковой смеси для получения БРС Р6М5К5 при длительности обработки 15, 30 и 45 мин приводила к уменьшению размера частиц в результате данной обработки. При 15 минутной обработке наблюдается образование пластинчатой и осколочной формы частиц с измельчением легирующих элементов, которые как налипают на частицы железа, так и находятся в свободном состоянии, основная фракция 6 – 20 мкм, средний размер 12 мкм. При обработке длительностью 30 мин наблюдается образование более округлых, равноосных частиц с налипанием или внедрением легирующих элементов на частицы железа, основная фракция 3 – 20 мкм, средний размер 10 мкм. Следует отметить, что практически имеет место отсутствие пластинчатых частиц при данном времени обработки. Обработка в течение 45 мин приводит как к дальнейшему измельчению, так и к образованию большего количества агломератов, основная фракция 4 – 30 мкм, средний размер 16 мкм. Согласно результатам РФА вне зависимости от времени обработки образуется твердый раствор на основе железа (α-Fe), карбид вольфрама WC и молибден.

Исходя из этих результатов, была выбрана длительность обработки в ПЦМ 30 мин, и при данной длительности были получены также БРС марок 10Р6М5 (основная фракция порошка 2-20 мкм, средний размер частиц 9 мкм) и Р12М3Ф2К8 (основная фракция 2-40 мкм, средний размер 15 мкм).

Была проведена обработка в ПЦМ распыленных порошков БРС марки 10P6M5 и  $P12M3\Phi2K8$ . Наблюдается значительное измельчение частиц после обработки, распыленный порошок 10P6M5 в исходном состоянии бифракционен, с двумя основными диапазонами размера частиц 2-30 мкм и 50-300 мкм, при среднем размере частиц 144 мкм. Обработка в ПЦМ в течение 15, 30 и 45 мин приводит к образованию среднего размера частиц в 19, 15 и 18 мкм, порошки монофракционны, с основным пиком 10-20 мкм.

В ПЦМ производилось смешивание как порошковых смесей БРС P6M5K5 и 10P6M5, так и распыленного порошка БРС 10P6M5 добавками карбида бора  $B_4C$  (0,5 и 1 %), карбида ванадия VC (1 и 3 %), карбида титана TiC (1 и 3 %) и гетерофазной керамики  $MoSi_2 - MoB - HfB_2$  (3 %) с целью получения композиционной БРС. Смешивание проводилось при длительности 30 мин.

Распыленный порошок БРС 10Р6М5, который не формуется и не уплотняется как в исходном виде, так и после обработки в ПЦМ, формуется и уплотняется с введением в него упрочняющей добавки VC, которые интенсифицируют пластическую деформацию в области контакта карбидов с металлической матрицей

На рисунке 2 представлены РЭМ-изображения порошковой смеси Р6М5К5 дисперсно-упрочненного частицами VC.

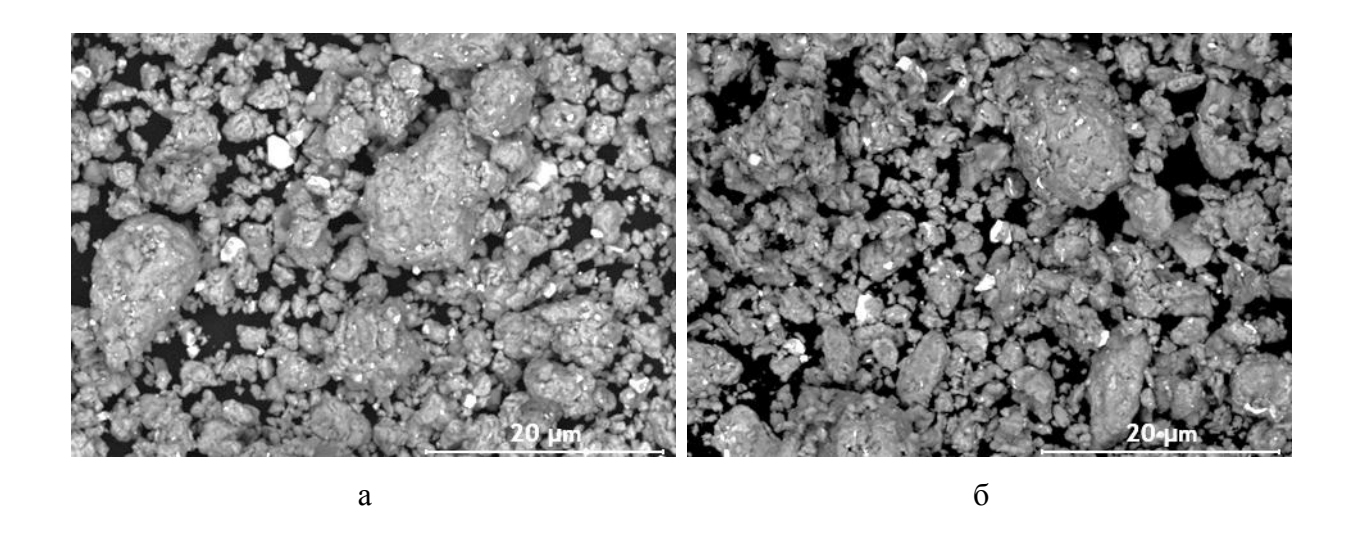


Рисунок 2 – РЭМ-изображения порошковой смеси БРС P6M5K5, дисперсноупрочненного VC в количестве: 1 % (a) и 3 % (б)

При этом с введением упрочняющих добавок в некоторых случаях наблюдается рост насыпной плотности с увеличением доли упрочняющей фазы, что можно объяснить лучшей межчастичной укладкой, при которой пустоты между более крупными частицами занимают частицы меньшего размера.

Также была получена смесь БРС P6M5K5 с 40 и 60 % гетерофазной керамикой MoSi<sub>2</sub> - MoB - HfB<sub>2</sub> для получения в дальнейшим из них электродов для ЭИО.

**Четвертый раздел** диссертационной работы описывает результаты исследования процессов холодного прессования и спекания порошков и порошковых смесей БРС. Если, как было отмечено выше, распыленный порошок БРС в исходном состоянии не

формуется холодным прессованием, то смеси БРС с диффузионно-легированной добавкой и механолегированные смеси и смеси распыленного порошка с упрочняющими добавками – формуются хорошо в указанном диапазоне давлений.

Смесь БРС P6M5K5 с диффузионно-легированной добавкой уплотняется, достигая при давлении прессования 900 МПа относительной плотности в 84,0 %, что сопоставимо с уплотняемостью порошка железа ПЖРВ 2.200.26, чему способствует мягкая матрица, которой служит железный порошок и губчатая морфология частиц диффузионно-легированной добавки (рисунок 3).

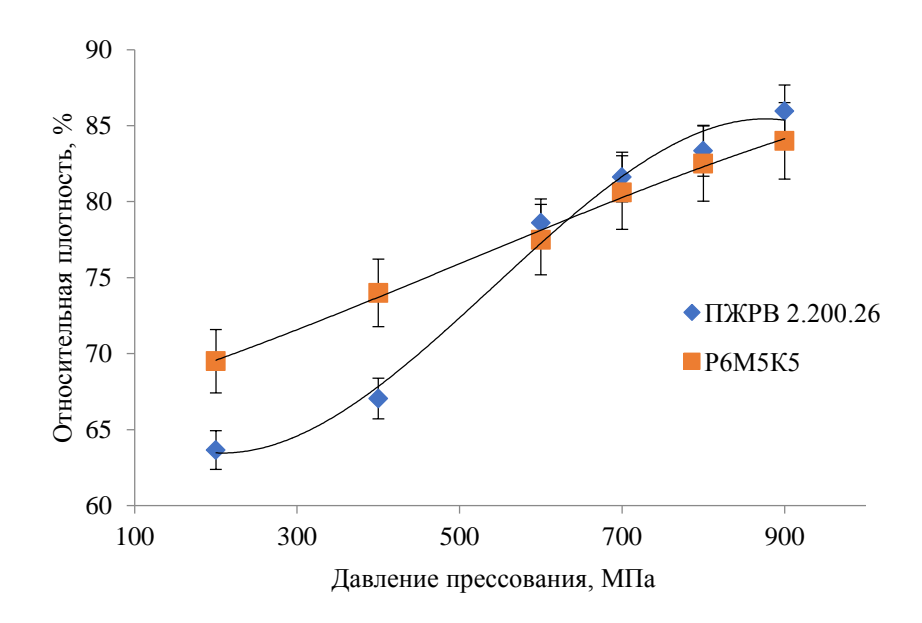


Рисунок 3 — График зависимости относительной плотности после прессования порошковой смеси БРС P6M5K5 и порошка железа ПЖРВ 2.200.26

Далее проводилось спекание в углеродсодержащей среде холоднопрессованных заготовок при температуре 1000 и 1200 °C. Данные температуры были выбраны исходя из вертикального разреза диаграммы состояния для стали P6M5K5, согласно которой жидкая фаза образовывается при температуре ~1250 °C. Из результатов спекания было определено, что плотность заготовок, спрессованных при 900 МПа, увеличивается до 88,0 %, разница в температурах спекания практически не влияет на усадку.

Исследование уплотняемости порошковых смесей БРС Р6М5К5, обработанных в ПЦМ в течение 15, 30 и 45 мин показало, что при прессовании при 900 МПа достигается относительная плотность 73,8, 71,8 и 70,1 % соответственно. Ухудшение уплотняемости при более длительной продолжительности обработки в ПЦМ связана с

большей дефектностью и наклепом частиц, что повышает их твердость. Вместе с тем разница в плотностях не столь значительна.

Было проведено спекание в углеродсодержащей засыпке перечисленных смесей БРС P6M5K5 при 1000, 1100 и 1200 °C, что выявило во всех случаях значительное увеличение плотности при спекании при 1200 °C (рисунок 4).

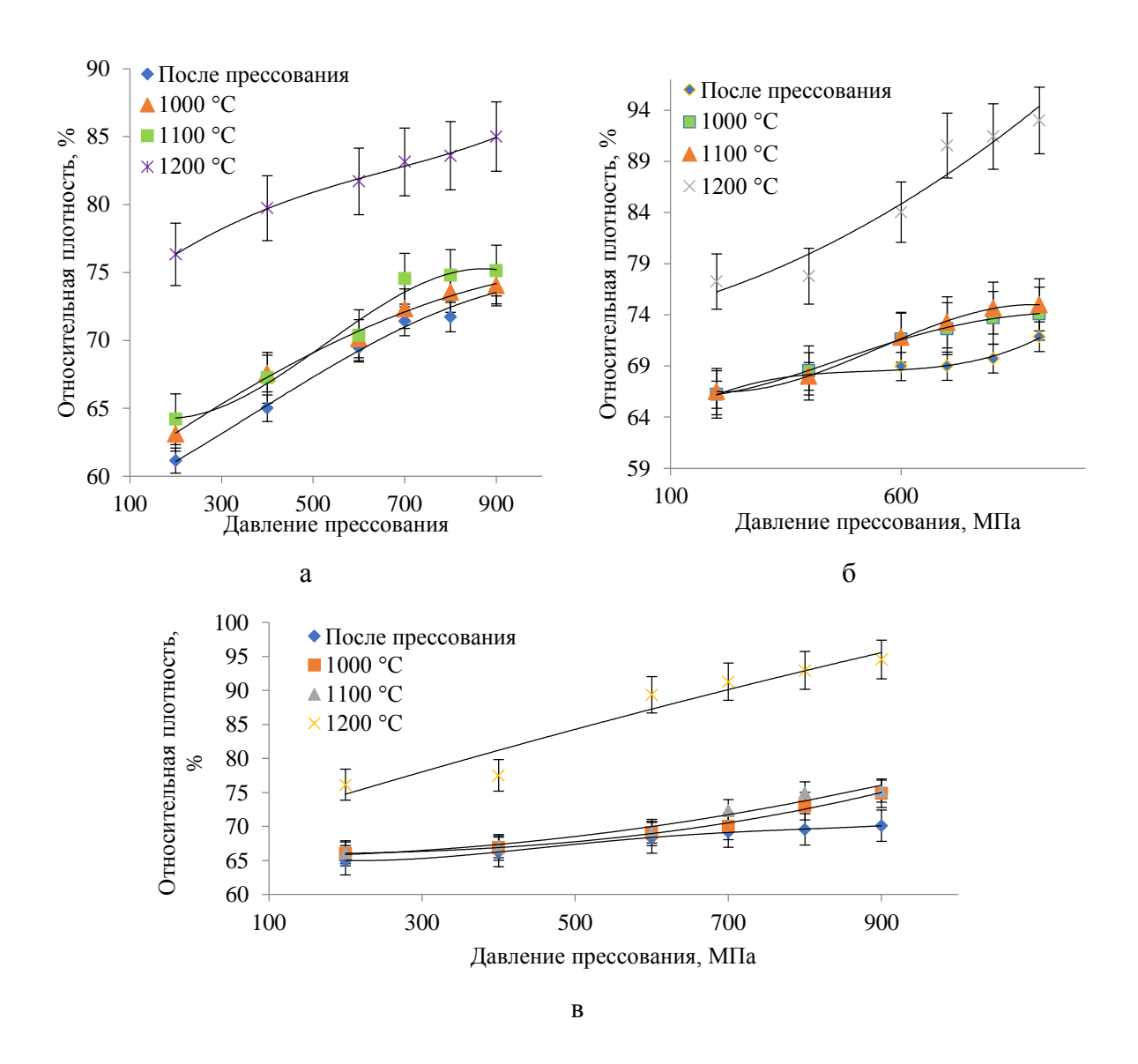


Рисунок 4 – Зависимость относительной плотности заготовок механолегированных порошковых смесей БРС Р6МК, подверженных обработке в ПЦМ в течение 15 (a), 30 (б) и 45 (в) мин от давления прессования после спекания

Разница в плотностях при спекании при 1000 и 1100 °C практически отсутствует. Она составляет у заготовок, спрессованных при 900 МПа примерно 74 – 75 % для всех

смесей. После спекания при 1200 °C для порошковой смеси, обработанной при 15 мин относительная плотность заготовки, спрессованной при 900 МПа составила 85 %; для обработанной при 30 мин – 93 %; для обработанной при 45 мин – 94 %. Резкое увеличение плотности можно связать как с процессом активированного спекания, который обусловлен высокой дисперсностью частиц порошка (что объясняет большую плотность у порошковых смесей с меньшим средним размером частиц), так и возможным образованием жидкой фазы. Это возможно для порошков, подвергнутых высокоэнергетической обработке в ПЦМ. Микроструктура более плотная и однородная у заготовок, спеченных при 1200 °C, где в матрице, представляющей собой твердый раствор на основе железа, равномерно распределены частицы эвтектического карбида М<sub>6</sub>С. При этом спеченные при 1000 и 1100 °C заготовки имеют в своей структуре частицы молибдена, карбида вольфрама WC и феррованадия (рисунок 5).

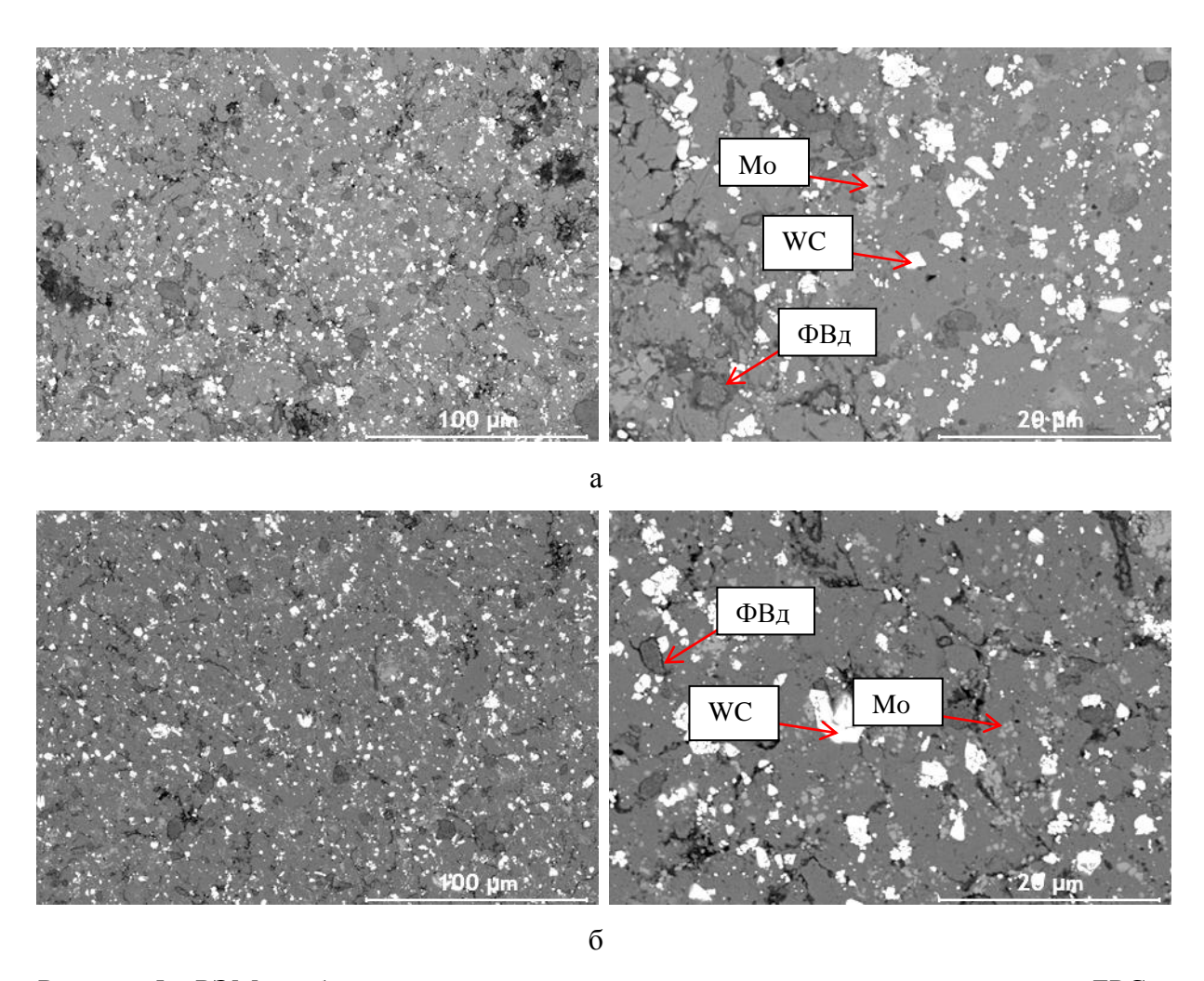
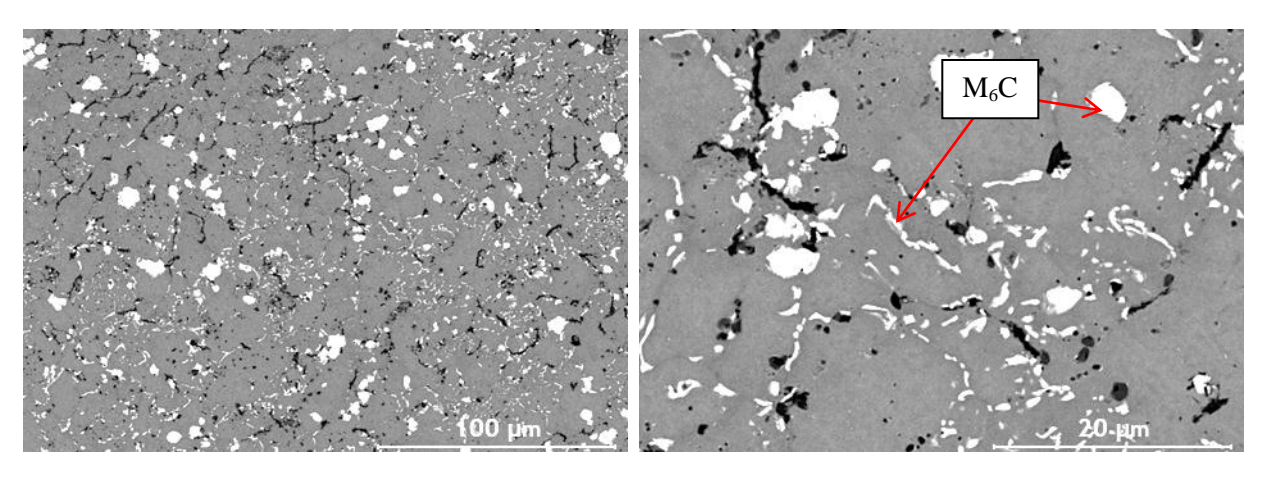


Рисунок 5 — РЭМ-изображения заготовок механолегированной порошковой смеси БРС, спеченных при температуре: а)  $1000 \, ^{\circ}$ C; б)  $1100 \, ^{\circ}$ C



В

Продолжение рисунка 5 – РЭМ-изображения микроструктуры заготовок механолегированной порошковой смеси БРС, спеченных при температуре: в) 1200 °C

Образование жидкой фазы в БРС P6M5K5 при температурах свыше 1125 °C возможно при содержании углерода в количестве 2,10 - 2,25 %, что можно объяснить избытком углерода в отдельных участках порошковой заготовки из-за его неравномерного распределения в объеме смеси в процессе смешивания, а также из-за наличия углерода в составе феррованадия (до 0,5 %) и углеродсодержащей среды спекания.

В таблице 1 представлены результаты ЭДС-анализа эвтектики, образованной при спекании заготовок механически легированной порошковой смеси БРС P6M5K5 при температуре спекания 1125 °C.

Таблица 1 – Результаты ЭДС-анализа эвтектики в спеченной БРС Р6М5К5

No	Fe	W	Mo	Cr	V	C	
745	Содержание, %						
1	29,4	38,6	19,7	1,8	1,0	9,5	
2	29,6	39,0	19,9	1,9	1,2	8,4	
3	30,4	37,2	19,8	2,2	1,0	9,4	

Как можно видеть из таблицы 1, состав эвтектики практически аналогичен для всех исследованных участков, и он соответствует составу эвтектического карбида  $M_6C$ .

ДСК анализ не выявил отдельного выраженного эндотермического пика, в том числе при рассчитанной температуре солидуса, что может свидетельствовать о постепенном образовании жидкой фазы в малых количествах.

Дополнительное спекание образцов при 1300 °C привело к их оплавлению и

потере формы, с образованием практически беспористой структуры со значительно более грубой структурой с относительно крупными частицами эвтектического карбида.

Подобный значительный рост плотности после спекания характерен и для порошковых смесей БРС 10P6M5 и  $P12M3\Phi2K8$ , где заготовки, спрессованные при 900 МПа, после прессования имеют относительную плотность 71 и 67 %, а после спекания при 1200 °C 93 и 94 % соответственно.

Обработанные при различной длительности в ПЦМ распыленные порошки 10Р6М5 формуются плохо, образуют хрупкие формовки при давлении прессования от 400 МПа, однако прочность таких заготовок слишком мала для проведения последующих операций, в частности, для транспортировки для последующего спекания. При этом с внедрением упрочняющих добавок распыленный порошок начинает формоваться. Плотность после прессования у заготовок, спрессованных при 900 МПа порядка 65 – 66 %, притом уплотняемость порошка с добавкой 1 и 3 % VC аналогична, после спекания плотность данных таблеток достигает 91 % для порошка с 1 % VC, и 92 % в случае введения 3 % VC. Высокую прессуемость и формуемость распыленного порошка, обработанного в ПЦМ при введении частиц VC, можно объяснить тем, что более твердые карбидные частицы могут внедряться в более пластичные частицы БРС, выполняя соединительную роль для частиц основного порошка, интенсифицируя пластическую деформацию в области контакта карбидов с металлической матрицей.

ДСК анализ не выявил выраженного эндотермического пика в области температуры солидуса, который для 10Р6М5 составляет ~ 1250 °C.

Смесь БРС P6M5K5 с добавление карбида 1 и 3 % VC достигает плотности при 900 МПа порядка 70 % вне зависимости от количества упрочняющей добавки, с некоторым расхождением после спекания, где для 1 % VC плотность составляет 92 %, а для 3 % VC - 94 %.

**В пятом разделе** дано описание результатов исследования процесса ГП порошковых смесей БРС, их ТО, а также физико-механических и эксплуатационных свойств.

ГП порошковой смеси БРС P6M5K5 с диффузионно-легированной добавкой было проведено при 900 и 1000 °C, при давлении 40 и 50 МПа соответственно, со скоростью нагрева и охлаждения 50 °/мин. Относительная плотность полученных заготовок составила 93,1 и 97,2 %. На заготовке с относительной плотностью 97,2 % проводилась ТО: отжиг, закалка с 1200 °C в масло и последующий двукратный отпуск при 550 °C.

После ТО наблюдаются фазы  $\alpha$ -Fe (мартенсит отпуска) и сложных карбидов  $M_6$ С и  $M_{23}$ С $_6$ , однако при микроструктурном исследовании с применением ЭДС были также обнаружены частицы нерастворенного феррованадия, частицы диффузионнолегированной добавки и частицы карбида МС. Вместе с тем распределение частиц достаточно однородное, также наблюдается дисперсное распределение карбидов. Твердость исходной ГП-заготовки была равна 63,1 HRA, после ТО она повысилась до значений 66,3 HRA. Достаточно низкая твердость для БРС связана с неполным протеканием процессов диффузии, что связано с относительно крупным размером исходных частиц порошковой смеси, в том числе частиц диффузионно-легированной добавки. Твердость на изгиб составила 630  $\pm$  10 МПа, а на сжатие 1721  $\pm$  15 МПа, что связано с остаточной пористостью и относительно крупным зерном.

Проводили ГП механолегированной порошковой смеси БРС Р6М5К5, обработанной в ПЦМ в течение 30 мин, при 900, 1000, 1025 °С и давлении 50 МПа, по результатам которого плотность заготовок составила 98,1; 99,0 и 98,5 % соответственно. Из результатов можно говорить о предпочтительности температуры ГП 1000 °С. При данной температуре заготовки из порошковых смесей, обработанных в ПЦМ в течение 15 и 45 мин имели относительную плотность 92,9 и 96,0 %.

После ГП микроструктура заготовки P6M5K5, консолидированной при 1000 °C, состоит из матрицы на основе железа (в ней растворены легирующие элементы). Также фиксируются частицы нерастворенного феррованадия (где содержится молибден, который образует непрерывный ряд твердых растворов с ванадием), карбид вольфрама WC (ближе к границам частиц карбида увеличивается количество молибдена, что также свидетельствует о постепенном растворении карбида в матрице) и молибден. Была проведена ТО данной заготовки: отжиг при 800 °C в течение 60 мин, закалка (с предварительным нагревом) в масло при температурах 1190, 1200, 1210, 1220 и 1230 °C с последующим двукратным отпуском при 550 °C. Из результатов определения твердости заготовок после проведения отпуска наиболее оптимальной температурой была выбрана 1200 °C, где твердость составила 66,0 HRC. Более высокие температуры закалки ухудшали твердость, т.к. происходит резкий рост зерна, связанный с тем, что эти температуры имеют меньшую разницу с температурой солидуса БРС. Согласно РФА наблюдаются фазы α-железа (мартенсит отпуска), остаточный аустенит, карбиды М<sub>6</sub>С и МС. Микроструктура однородная, в ней отсутствует нерастворенный феррованадий, который перешел в карбид МС, также отсутствует чистый молибден.

На рисунке 6 представлена микроструктура ГП механолегированной порошковой

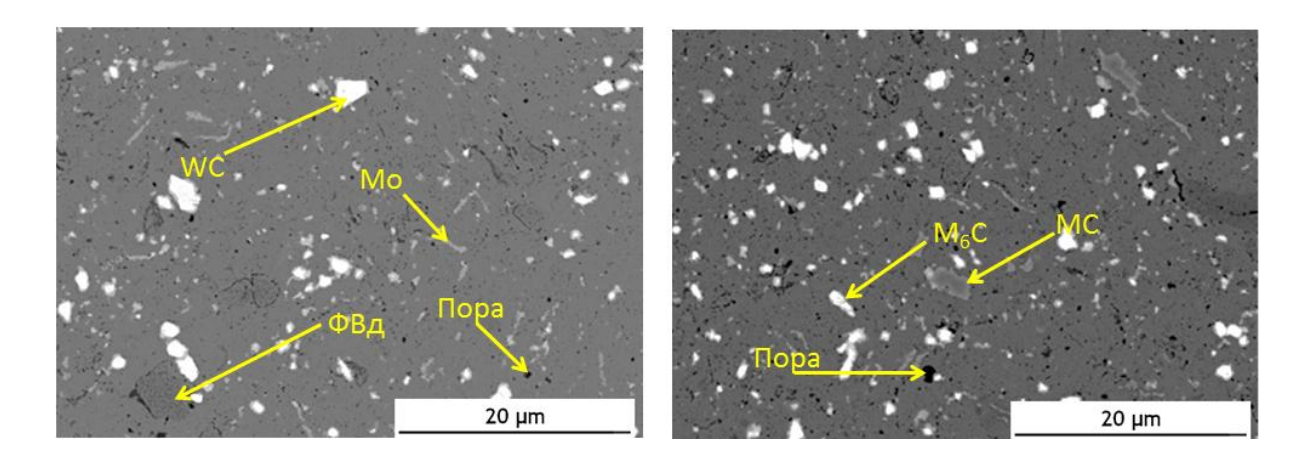


Рисунок 6 – РЭМ-изображения микроструктуры ГП-заготовки смеси БРС Р6М5К5 до (a) и после (б) ТО

Используя оптимальный режим ГП: 1000 °C, давление прессования 50 МПа и выдержка в течение 3 мин (более длительная выдержка не способствует к дальнейшей усадке) были получены заготовки БРС марки 10Р6М5 и Р12М3Ф2К8. Относительная плотность составила 98,2 и 98,0 %, твердость 66,0 и 66,7 НКС соответственно. ТО данных заготовок проводилась при температурах, перечисленных в ГОСТ 28393-89 1200 °C для 10Р6М5 и 1210 °C для Р12М3Ф2К8, с дальнейшим двукратным отпуском при 550 и 560 °C, с достижением твердости после ТО 65,5 и 66,0 НКС соответственно. Незначительное снижение твердости можно объяснить неизбежным ростом зерен во время ТО с нагревом до высоких температур. Основные микроструктурные составляющие полученных заготовок практически аналогичны: матрица на основе железа с легирующими элементами, растворенными в ней, карбиды типа М<sub>6</sub>С и МС.

В таблице 1 показаны результаты определения физико-механических свойств заготовок, ГП при 1000 °С и давлении 50 МПа перечисленных БРС после ТО.

Таблица 1 - Физико-механические свойства ГП-заготовок из механолегированных порошковых смесей

	Твердость	Твердость	Красностойкость	Прочность на	Прочность на
Марка БРС	после ГП	после ТО	Красностоикость	изгиб	сжатие
		HRC	M	Пα	
10P6M5	$66,0 \pm 0,2$	$65,5 \pm 0,6$	$59,0 \pm 0,3$	$1141 \pm 20$	$1985 \pm 10$
P6M5K5	$70,5 \pm 0,5$	$66,0 \pm 0,5$	$59,0 \pm 0,6$	$1288 \pm 12$	$2371 \pm 12$
Р12М3Ф2К8	$66,7 \pm 0,5$	$66,0 \pm 0,6$	$60,3 \pm 0,5$	$1515 \pm 15$	$2509 \pm 15$

ГП порошковых смесей дисперсно-упрочненных композиционных БРС проводили при режиме: температура 1000 °C, 50 МПа, выдержка 3 мин и скорость нагрева и охлаждения 50 °/мин. В таблице 2 приведены сводные результаты по некоторым характеристикам ГП-заготовок.

Таблица 2 - Относительная плотность и твердость ГП-заготовок дисперсноупрочненных порошковых смесей БРС

Марка БРС и содержание	Относительная	Твердость, HRC	Твердость после
упрочнителя	плотность, %		TO, HRC
10Р6М5 (распыл.) + 1% В <sub>4</sub> С	96,1	$64,0 \pm 0,2$	64,8 ± 0,4
10P6M5 + 1% B <sub>4</sub> C	92,2	$63,0 \pm 0,3$	$64,0 \pm 0,5$
P6M5K5 + 1% B <sub>4</sub> C	89,9	$63,0 \pm 0,3$	$63,3 \pm 0,2$
10P6M5 (распыл.) + 1% VC	96,1	$65,5 \pm 0,5$	$66,0 \pm 0,5$
10P6M5 (распыл.) + 3% VC	97,5	$66,0 \pm 0,3$	$66.8 \pm 0.1$
10P6M5 + 1% VC	97,8	$65,8 \pm 0,2$	$66,6 \pm 0,2$
10P6M5 + 3% VC	98,2	$66,5 \pm 0,2$	$67,0 \pm 0,5$
P6M5K5 + 1% VC	98,0	$66,2 \pm 0,3$	67,0 ± 0,4
P6M5K5 + 3% VC	98,9	$67,2 \pm 0,4$	$67,5 \pm 0,3$
P6M5K5 + 3 % MoSi <sub>2</sub> -MoB-HfB <sub>2</sub>	97,8	$64,0 \pm 0,5$	$64,4 \pm 0,6$
P6M5K5 + 3 % MoSi <sub>2</sub> -MoB-HfB <sub>2</sub>	97,2	$64,2 \pm 0,6$	$64,4 \pm 0,5$

Оптимальной добавкой, судя по результатам, показанным в таблице 2, является карбид ванадия VC, введение которого увеличивает твердость после ГП, при этом худшие результаты получаются при введении карбида бора  $B_4C$ . Последнее связано с диффузией бора и углерода в составе  $B_4C$  с фазами матрицы из БРС, что может приводить к образованию фаз типа  $M_6(C, B)$  и избыточному содержанию углерода и бора. Лучшие показатели по плотности и твердости наблюдается у ГП-заготовок композиционной БРС P6M5K5 с 3 % VC, их прочностные свойства были исследованы: прочность на изгиб - 1649 МПа, прочность на сжатие – 2641 МПа с красностойкостью 60,0 HRC.

**В шестом разделе** даны результаты исследований применения механолегированной порошковой смеси БРС P6M5K5 для ЭИО штамповой стали 5XHM. Были получены электроды из ГП заготовок БРС (P6M5K5) и смеси БРС P6M5K5 + 40 %  $MoSi_2$  - MoB -  $HfB_2$  (P6M5K5-K). Из рассмотренных режимов

нанесения покрытий на сталь 5ХНМ (таблица 2), был определен оптимальный режим исходя из кинетики массопереноса (рисунок 7) и шероховатости (таблица 3).

Таблица 2 – Режимы нанесения покрытий методом ЭИО

№	Установка/режим	I, A	f, Гц	т, мкс	Е, Дж	ΣE,	Период
						Дж×мин	следования
							импульса
							$\Pi=1/f$ , мкс
1	Alier 30 Metal*/	170	1500	25	0,1	7,65	666,6(6)
	Режим 1						
2	Alier 30 Metal*/	170	3000	25	0,1	15,30	333,3(3)
	Режим 2						
3	Alier G53 Metal*/	200	400	100	0,4	9,6	2500
	Режим 3						

<sup>\* -</sup> зависимый генератор

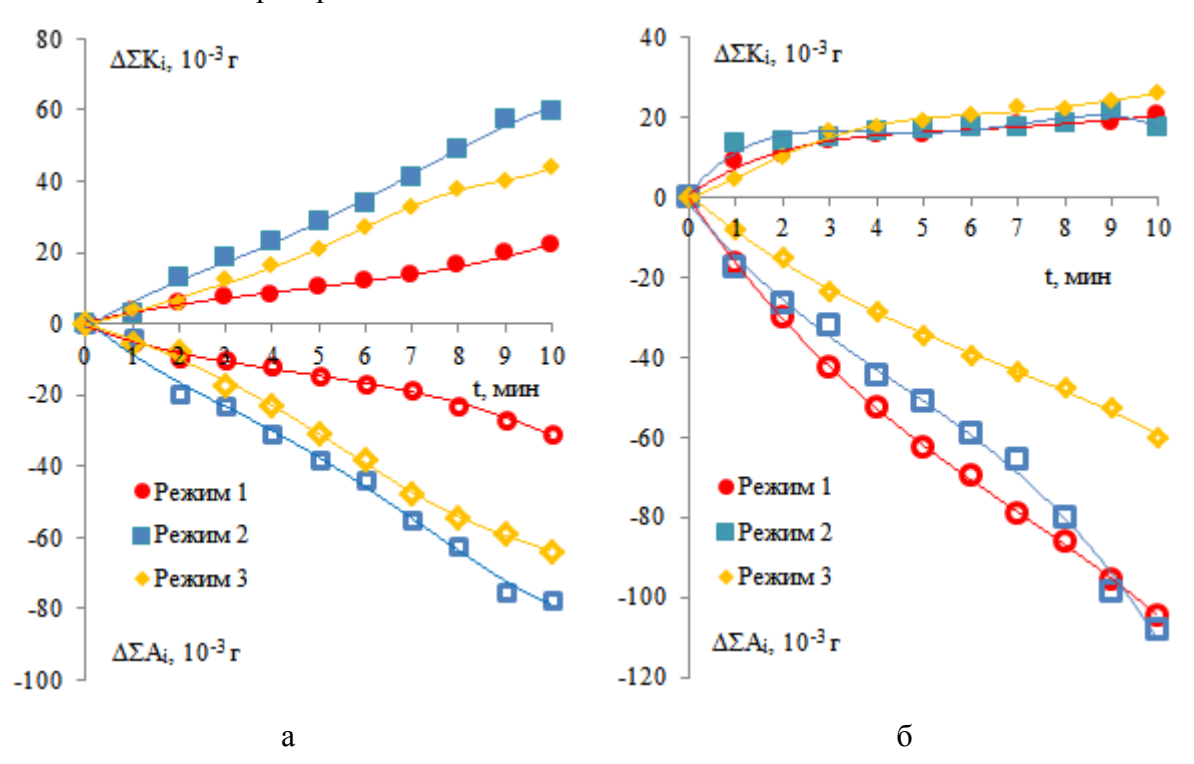


Рисунок 7 — Зависимость привеса суммарной массы катода  $\Delta\Sigma K_i$  и суммарной эрозии анода  $\Delta\Sigma A_i$  от длительности ЭИО электродами P6M5K5 (a) и P6M5K5-K (б)

Таблица 3 – Значения коэффициента переноса  $K_{\pi}$  и шероховатости  $R_a$  от режима ЭИО

Режим	P6M:	5K5	P6M5K5-K		
	К <sub>п</sub> , %	R <sub>a</sub> , мкм	К <sub>п</sub> , %	R <sub>a</sub> , мкм	
1	72,67	7	32,86	14	
2	81,03	6	46,11	13	
3	69,76	12	68,51	18	

По результатам исследования кинетики массопереноса, коэффициента переноса и шероховатости оптимальным режимом для ЭИО выбран режим 2, который обеспечивает минимальную шероховатость при относительно высоком для электрода P6M5K5 (81,03 %) и среднем для электрода P6M5K5-K (46,11 %) коэффициенте переноса.

Полученное при оптимальном режиме покрытие (которое состоит из аустенита) из электрода P6M5K5 демонстрируют высокую однородность, практически отсутствие трещин, толщина составляет 20 - 22 мкм, твердость 9,1 ГПа, шероховатость 6 мкм. Покрытие из электрода P6M5K5-К имеет толщину 35 - 50 мкм, твердость 15,8 ГПа при шероховатости 13 мкм. Фиксируются фаза на основе железа (α-Fe), борид и силицид железа, а также оксид гафния.

На рисунке 8 представлена топография и микроструктура покрытий из электродов P6M5K5 и P6M5K5

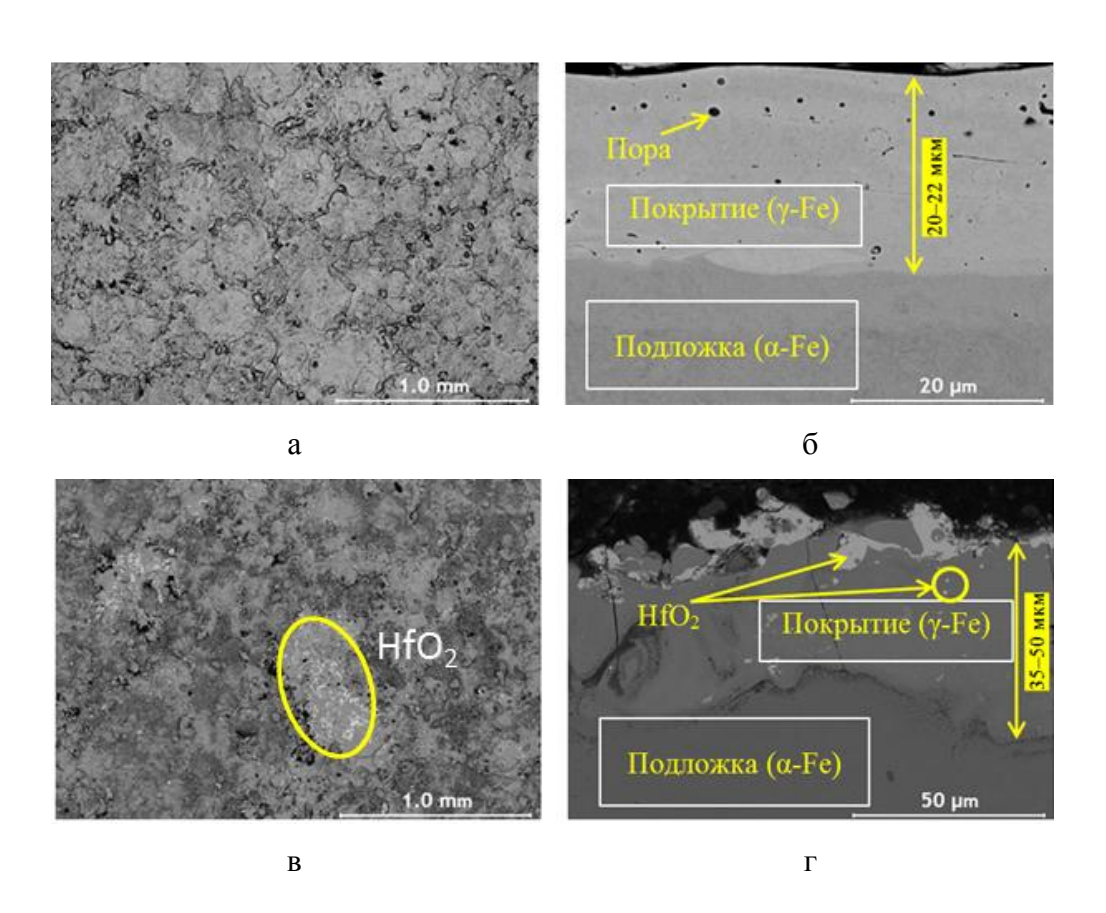


Рисунок 8 — РЭМ-изображения топографии (а, в) и микроструктуры покрытий (б, г) из электродов Р6М5К (а, б) и Р6М5К5-К (в, г)

Из приведенных изображений видно, что покрытия из электрода P6M5K5 без введения керамической добавки относительно однородны, в нем практически отсутствуют трещины, в поверхностном слое имеются поры. Толщина слоя составляет 20-22 мкм, в шлифах наблюдается неоднородность, выражаемая в незначительной разнице в концентрациях молибдена и вольфрама. Основная фаза ЭИО слоя представлена аустенитом, поскольку в процессе обработки происходит оплавление частиц, наносимых на поверхность стальной подложки с их дальнейшей кристаллизацией при высоких скоростях, что практически представляет собой процесс закалки.

При введении гетерофазной керамики наблюдается увеличение шероховатости поверхностного слоя, меньшая однородность, отдельно наблюдаются частицы оксида гафния и матрица на основе железа, в которой растворены легирующие элементы как стали, так и керамической добавки. Согласно результатам РФА присутствуют фазы  $\alpha$ -Fe, HfO<sub>2</sub>, HfSiO<sub>4</sub>, Fe<sub>3</sub>Si и Fe<sub>3</sub>B. Данные результаты согласуются с результатами ЭДС по фазам  $\alpha$ -Fe и HfO<sub>2</sub>.

Были проведены высокотемпературные трибологические испытания, по результатам которых покрытие из электрода P6M5K5-К ( $2,82 \times 10^{-5} \text{ мм}^3/\text{H/м}$ ) демонстрирует значительно большую износостойкость в сравнении с покрытием из электрода P6M5K5 ( $38,24 \times 10^{-5} \text{ мм}^3/\text{H/м}$ ): приведенный износ меньше в 13,5 раз. Это, вероятно, связано как с высокой твердостью покрытия из-за содержания боридных фаз, так и с более высокой жаростойкостью из-за наличия в нем оксида гафния.

#### Общие выводы и результаты работы

1. Установлен оптимальный режим получения диффузионно-легированной добавки, содержащей вольфрам, молибден, кобальт и железо для получения порошковой смеси БРС Р6М5К5, которая демонстрирует высокую уплотняемость при холодном прессовании (до 84,0 % при 900 МПа). Выбрана оптимальная температура спекания (с ростом плотности до 90,6 % для заготовок, спрессованных при 900 МПа), которая обеспечивает получение структуры с меньшим размером зерна и отсутствием карбидной сетки. Проведено ГП с дальнейшей ТО, обеспечившее высокую плотность (97,2 %), микроструктуру с более мелкими структурными составляющими, с повышенной твердостью в сравнении со спеченными заготовками (63,3 HRA против

- 48,0 HRB), с  $\sigma_{\text{изг.}}$  630 МПа и  $\sigma_{\text{сж.}}$  1721 МПа. По результатам исследований получено ноу-хау «Способ получения диффузионно-легированной смеси на основе железа, содержащей вольфрам, молибден, кобальт и карбид тантала» и зарегистрировано в депозитарии НИТУ МИСИС. Также получена опытно-промышленной партия смеси в условиях ПАО «Северсталь».
- 2. Установлена оптимальная длительность обработки (30 мин) в ПЦМ для получения механолегированной порошковой смеси БРС Р6М5К5 при скорости вращения барабанов 800 об/мин и соотношении мелющих тел к порошку 10 к 1. Порошковая смесь, полученная при данном режиме, характеризуется высокой уплотняемостью при холодном прессовании. Определена оптимальная температура спекания (1200 °C), которая обеспечивает достижение малой остаточной пористости (7 %) за счет образования малого количества жидкой фазы в результате контактного плавления эвтектики, при сохранении мелкозернистой структуры без образования карбидной сетки, с дисперсным распределением карбидных включений  $M_6$ С. Проведено ГП при 1000 °C при давлении прессования 50 МПа с последующей ТО, с достижением твердости и красностойкости (66,0 и 59,0 HRC соответственно), сопоставимых с требованиями, прописанными в ГОСТ, при прочности  $\sigma_{изг.}$  1288  $\pm$  12 МПа
- $\sigma_{\text{сж.}}$  2371 ± 12 МПа. Заготовка из порошковой смеси композиционной дисперсноупрочненной БРС P6M5K5 с добавкой 3 % VC характеризовалась более высокими прочностными показателями  $\sigma_{\text{изг.}}$  1946 ± 15 и  $\sigma_{\text{сж.}}$  2641 ± 10.
- 3. Проведена промышленная апробация результатов работы, в том числе испытания стойкости режущих пластин из ГП-заготовок, на лабораторно-исследовательской базе ПАО «Туполев». Согласно результатам испытаний, пластины из порошковых смесей БРС Р6М5К5 с диффузионно-легированной добавкой и механолегированных порошковых смесей 10Р6М5, Р6М5К5 и Р6М5К5 с добавлением 3 % VC продемонстрировали стойкость в 1,13 1,60 раз выше, чем режущая пластина из горячекатаного прутка литой БРС Р6М5. Проведены опытно-промышленные испытания резцов БРС из ГП-заготовок в условиях ООО НПФ «УМГ».
- 4. Получены электроды из ГП-заготовок механолегированной порошковой смеси БРС P6M5K5 и P6M5K5 и 40 % гетерофазной керамики MoSi<sub>2</sub> − MoB − HfB<sub>2</sub> (P6M5K5-K) для нанесения покрытий методом ЭИО на инструментальные стали. Разработана технологическая инструкция на процесс получения электродов ТИ № 58-11301236-2023. По результатам трибологических испытаний при температуре 500 °C, покрытия,

нанесенные из перечисленных электродов при выбранных оптимальных режимах на подложку из стали 5ХНМ, было определено, что введение гетерофазной керамики уменьшает приведенный износ в 13,5 раз. При этом покрытия из электродов P6M5K5-K более шероховатые ( $R_a$  13 мкм против 6 мкм для покрытий из P6M5K5), но более толстые (35-50 мкм против 20-22 мкм).

#### Публикации автора по теме диссертации

## Статьи, опубликованные в журналах, рекомендованных ВАК и входящие в базы данных Web of Science и Scopus:

- 1. Еремеева Ж.В., **Ахметов А.** Получение порошка быстрорежущей стали методом совместного восстановления оксидов вольфрама и молибдена и оксалата кобальта на железном порошке. Материаловедение. 2020. № 7. С. 30-33. DOI: 10.31044/1684-579X-2020-0-7-30-33
- 2. **Ахметов А.С.**, Еремеева Ж.В. Перспективы широкого применения водорода в порошковой металлургии. Металлург. 2021. № 3. С. 63-67. DOI: 10.52351/00260827\_2021\_03\_63
- 3. **Ахметов А.С.**, Еремеева Ж.В. Изучение характера протекания диффузионного легирования смеси для порошковой быстрорежущей стали. Материаловедение. 2021. № 6. С. 13-16. DOI: 10.31044/1684-579X-2021-0-6-13-16
- 4. **Ахметов А.С.**, Еремеева Ж.В. Исследование структуры спеченных заготовок из порошковой смеси быстрорежущей стали P6M5K5, содержащей диффузионнолегированный порошок. Металлург, 2022. № 3. С. 57 60. DOI 10.52351/00260827 2022 03 57
- 5. Бычкова М.Я., Манакова О.С., **Ахметов А.С.**, Кайсинов А., Авдеенко Е.Н., Логинов П.А., Воротыло С. Механические свойства и износостойкость металломатричных композитов на основе сплава Fe–Ni–Cu с полыми корундовыми микросферами. Известия вузов. Порошковая металлургия и функциональные покрытия. 2022;(1):66-75. https://doi.org/10.17073/1997-308X-2022-1-66-75
- 6. **Ахметов А. С.**, Еремеева Ж. В., Рупасов С. И.. Исследование процесса горячего прессования порошковой смеси быстрорежущей стали с диффузионнолегированной добавкой // Материаловедение. 2022. № 9. С. 35-40. DOI 10.31044/1684-579X-2022-0-9-35-40.
  - 7. Ахметов А. С., Еремеева Ж. В. Изменение микроструктуры и твердости после

термической обработки заготовки из порошковой быстрорежущей стали P6M5K5, содержащей диффузионно-легированную добавку // Перспективные материалы. -2023. № 3. - C. 43-48. DOI: 10.30791/1028-978X-2023-3-43-48

8. Loginov, P.A.; Fedotov, A.D.; Mukanov, S.K.; Manakova, O.S.; Zaitsev, A.A.; **Akhmetov, A.S.**; Rupasov, S.I.; Levashov, E.A. Manufacturing of Metal–Diamond Composites with High-Strength CoCrCuxFeNi High-Entropy Alloy Used as a Binder. Materials 2023, 16, 1285. <a href="https://doi.org/10.3390/ma16031285">https://doi.org/10.3390/ma16031285</a>

#### Результаты интеллектуальной деятельности:

- 9. Еремеева Ж.В., Ахметов А.С., Лопатин В.Ю. Способ получения диффузионнолегированной смеси на основе железа, содержащей вольфрам, молибден, кобальт и карбид тантала. Свидетельство о регистрации ноу-хау № 02-340-2023 ОИС от «14» марта 2023 г. Депозитарий ноу-хау НИТУ МИСИС
- 10. Еремеева Ж.В., Пацера Е.И., Ахметов А. Способ получения порошка быстрорежущей стали механическим легированием. Патент РФ № 2799363 от 10.06.2022, бюл. изобретения № 19 от 05.07.2023;

#### Публикации в материалах научно-технических конференций:

- 11. Еремеева Ж.В., **Ахметов А.С.** Получение диффузионно-легированной порошковой смеси быстрорежущей стали восстановлением исходного сырья в водороде. В сборнике: СНК-2020. материалы Юбилейной LXX открытой международной студенческой научной конференции Московского Политеха. Москва, 2020. С. 21-24
- 12. **Ахметов А.С.**, Еремеева Ж.В. Исследование возможности получения высокоуплотняемой порошковой смеси порошковой быстрорежущей стали. Новые материалы и перспективные технологии. Шестой междисциплинарный научный форум с международным участием. Москва, 2020. С. 370-373.
- 13. Еремеева Ж. В., **Ахметов А.** Метод получения порошковой смеси для быстрорежущей стали с диффузионным легированием. 12-й международный симпозиум «Порошковая металлургия: инженерия поверхности, новые порошковые композиционные материалы, сварка». Минск. 2021. С 198-202.
- 14. **Ахметов А.С.** Получение порошковой смеси порошковой быстрорежущей стали 10Р6М5К5 механическим легированием. Материалы Международного молодежного научного форума «ЛОМОНОСОВ-2021» / Отв. ред. И.А. Алешковский,

- А.В. Андриянов, Е.А. Антипов, Е.И. Зимакова. [Электронный ресурс] М.: МАКС Пресс, 2021. 1 электрон. опт. диск (DVD-ROM); 12 см. 2000 экз.
- 15. **Ахметов А.С.**, Еремеева Ж.В. Совместное восстановление неорганических соединений в водороде. 2021. Труды Международной научно-практической online конференции «Интеграция науки, образования и производства основа реализации Плана нации» (Сагиновские чтения №13), посвященной 30-летию Независимости Республики Казахстан, 17-18 июня 2021 г. Министерство образования и науки РК, Карагандинский технический университет. Караганда: Изд-во КарТУ, 2021 С. 1286 1288.
- 16. **Ахметов А.С.**, Еремеева Ж.В., Арапбай Е.А. Исследование технологических свойств порошковой смеси быстрорежущей стали P6M5K5 с добавкой карбида титана. Сборник научных статей 7-й Всероссийской научно-технической конференции с международным участием «Перспективы развития технологий обработки и оборудования в машиностроении» (10-11 февраля 2022 года)/ редкол.: Разумов М.С. (отв. ред.). Курск: Юго-Зап. гос. ун-т, 2022. С. 34 36
- 17. **Ахметов А.С.**, Еремеева Ж.В. Микроструктурное исследование спеченных и горячепрессованных заготовок из порошковой смеси быстрорежущей стали с диффузионно-легированной добавкой. Сборник тезисов XI конференции молодых специалистов по перспективам развития металлургических технологий. М.: ЦНИИЧермет им. И.П. Бардина, 2022. С. 33-34
- 18. **Ахметов А.С.**, Еремеева Ж.В., Арапбай Е.А., Чударин Ф.И. Методы улучшения прессуемости порошковой быстрорежущей стали. Сборник трудов Международной научно-технической конференции «Машиностроительные технологические системы» (МЕТS-2022). Ростов-на-Дону: ДГТУ, 2022. С. 244 247.
- 19. **Ахметов А.С.**, Еремеева Ж.В. Спекание механоактивированного порошка быстрорежущей стали 10Р6М5 с добавкой карбида ванадия VC. Сборник научных статей 3-й Международной научно-практической конференции «Современные проблемы и направления развития металловедения и термической обработки металлов и сплавов». Курск: Юго-Зап. гос. ун-т, 2022. С. 44-48
- 20. **Ахметов А.С.**, Еремеева Ж.В. Влияние добавки карбида бора на свойства порошковой быстрорежущей стали P6M5K5. Материалы VI Всероссийской научнопрактической конференции с международным участием «Инновационные технологии в материаловедении и машиностроении». Пермь: Пермский национальный исследовательский политехнический университет. 2022 г. С. 56-58.